

J-072

## MPEG-4INTER 符号化における誤り伝播特性 Error propagation property in MPEG-4INTER coding

宝蔵寺 優介  
Yusuke HOZOJI

木本 伊彦  
Tadahiko KIMOTO

### 1. はじめに

筆者らはこれまで MPEG-4 フレーム間符号化(以下 INTER 符号化)において動きベクトル成分は正しく受信され差分情報にエラーが混入した場合に、エラーの伝播性を考慮せずに、差分値を0としてエラーコンシールメントする方法の効果を調査してきた。[1]また MPEG-4 フレーム内符号化(以下 INTRA 符号化)においてエラーが混入した際にエラーコンシールメントし、後のフレーム(INTER 符号化)へはエラーが混入しないものとして、後の P フレームへのエラーの伝播特性を調査してきた。[2]そこで今回は、INTER 符号化の差分情報にエラーが入り、差分値を0としてエラーコンシールメントし、B フレームの3つの予測方法における後のフレームへのエラーの伝播特性を調査した。

### 2. 方法

#### 2.1 エラーコンシールメント方法

MPEG は主に I フレーム, P フレーム, B フレームの3種類から構成される。さらに B フレームの予測方法として、前方予測, 後方予測, 双方向予測, 直接モードがある。そこで今回は最初の P フレームと P フレームの差分情報にエラーが入り、差分値を0としてエラーコンシールメントし、後の P フレーム, B フレームにはエラーが混入しないものとする。また B フレームの数を変えることにより各フレームの参照の仕方も変わるので、B フレーム数を 2, 5, 10, 15, 20, 25, 30 と変えて行った。今回は B フレームには 前方予測, 後方予測, 双方向予測の3つの予測方法を用いた。またエラーが混入する差分情報のエラー率は 1~10%まで 1%ごとに乱数でブロックを決めて行った。

#### 2.2 客観評価

2.1 で述べた B フレームの3つの予測方法に対して B フレームの数及び各エラー率について、SN 比, エラーを含む画素の数, エラーを含む画素と原画素との差の絶対値平均を計算し評価をした。

#### 2.3 主観評価

2.1 で述べた 3 つの方法について各フレーム数に対して、エラー率 1%, 5%, 10%を MOS 評価した。評価者にはエラーなしフレーム(3.3秒)+エラー伝播フレーム(3秒)を1つの動画として前方予測と後方予測, 前方予測と双方向予測, 後方予測と双方向予測の順番で評価をしてもらった。MOS 評価の値を表1に示す。先に見た方の評価が4なら後に見た方の評価を2として3方法の評価を合計したものを2で割り10人の平均を求めた。

テスト画像の説明: 352 x 288 画素, テスト画像の名前 Mobile&Calendar, Table tennis, 輝度成分 256 階調。

条件

15 インチ液晶モニター上(表示域高さ 16 cm)で 1.5m 程離して同じものを 1 回示した。

画像には知識のない対象者数 10 人で行った

評価	
5	先に見た方が明らかに良い
4	先に見た方が良い
3	どちらも同じだ
2	先に見た方が悪い
1	先に見た方が明らかに悪い

表1 MOS 表

### 3. 結果

#### 3.1 客観的评价

##### 3.1.1 SNR の推移

図1に mobile&Calendar エラー率の1%の時の B フレーム数 2 と 30 の時の SNR を示す。これより、B フレームが増える方が値は下がることがわかる。また B フレーム数が同じ場合 3 つの予測方法のグラフの軌跡はほぼ同じである。B フレーム数 30 時の前方及び双方向の値が 30 フレーム前後まで高いのは前方予測の場合最初の P フレームにはエラーが混入しておらずその P フレームを参照するのでエラーが伝播しない。双方向も同じ原因で値が高くなる。また後方のみ値が突発的に低くなる場所が見られた。これらの傾向は Table tennis でもみられた。

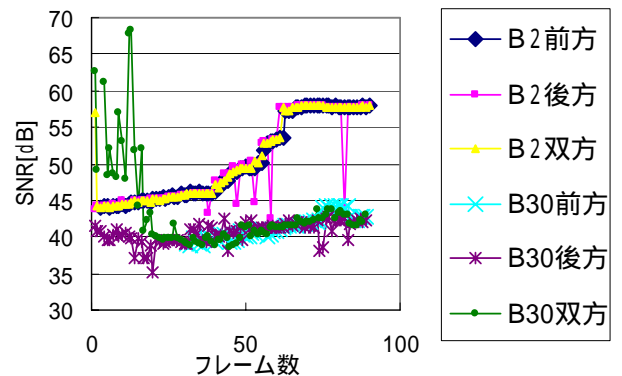


図1 Mobile&Calendar エラー率1%のSNR

##### 3.1.2 エラー画素数の伝播状況

図2に Table tennis エラー率の6%の時の B フレーム数 5 のエラー画素数の伝播状況のグラフを示す。これより後方予測だけエラー画素数が多いことが分かる。これは先にも述べたように後方は前方よりエラーの伝播が1回多く P フレームを参照するため、エラー箇所が拡散するためエラー画素数の変動が大きいと推測できる。またこれらの傾向は B フレーム数を変えてもみられ、Mobile&Calendar でもみられた。

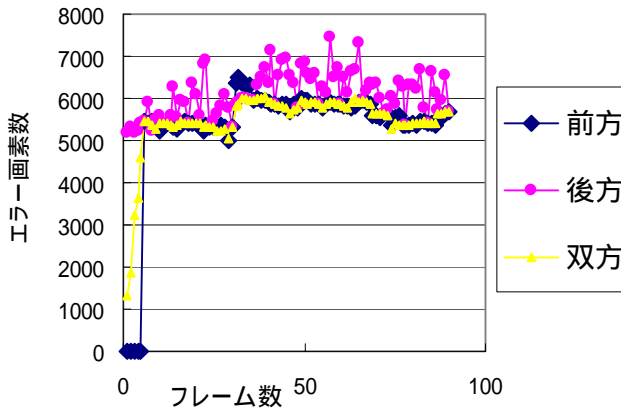


図2 Table tennis エラー率の6%エラー画素数

### 3.1.3 エラー画素と原画素との差の絶対値平均

図3に Table tennis エラー率の6%の時の B フレーム数5のエラー画素数の伝播状況のグラフを示す。これより後方予測だけ絶対値平均値が低いところが多いとわかる。これは先に述べたように後方は前方よりエラーの伝播が1回多く P フレームを参照するため、エラー箇所が拡散することにより値は原画像に近いと推測できる。またこれらの傾向は B フレーム数を変えてもみられ、Mobile&Calendar でもみられた。また以上の結果から SNR が突発的に下がる場所は、ほとんどの場合エラー画素の数が多く、また誤りの値も大きくなる場合に起きることがわかった。

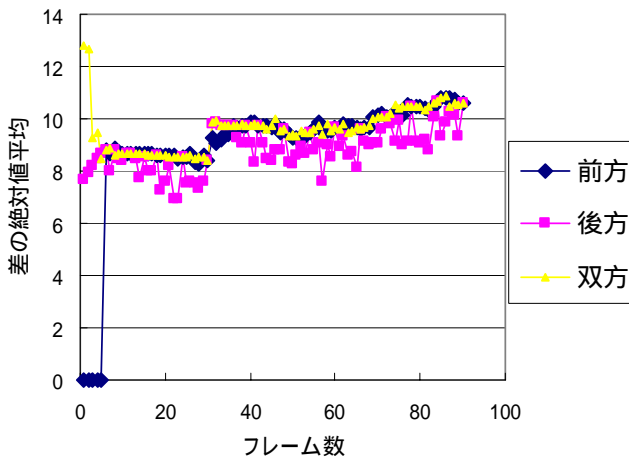


図3 Table tennis エラー率の6%差の絶対値平均

### 3.2 主観的評価

図4に Mobile&Calendar エラー率の5%の時の MOS 評価のグラフを示す。図5に Table tennis エラー率の1%の時の MOS 評価のグラフを示す。この両方のグラフから分かるように、B フレーム数が10枚辺りを境に後方予測の評価が下がることが分かる。これは他のエラー率での同様な傾向にあった。この原因として考えられるのは、客観評価でも述べたように、前方予測の場合最初の P フレームにはエラーが混入しておらずその P フレームを参照するのでエラーが伝播しないので B フレームの数が増えるほど、エラーの混入時刻が遅くなる。故に前方予測および双方向予測の評価が高かったと考えられる。また SNR が突発的に下がる時も映像でみると多少影響はあるので、これも原因の一つと考えられる。

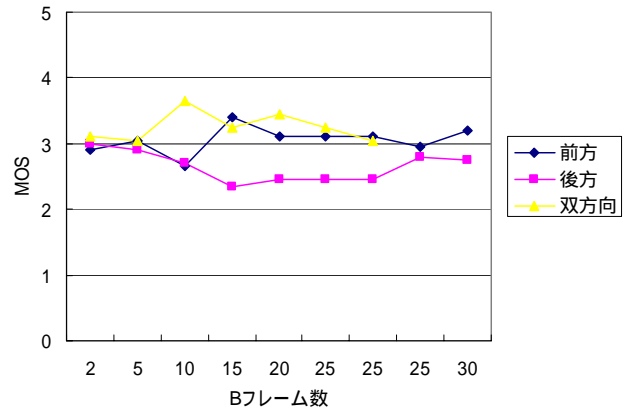


図4 Mobile&Calendar エラー率の5%のMOS評価

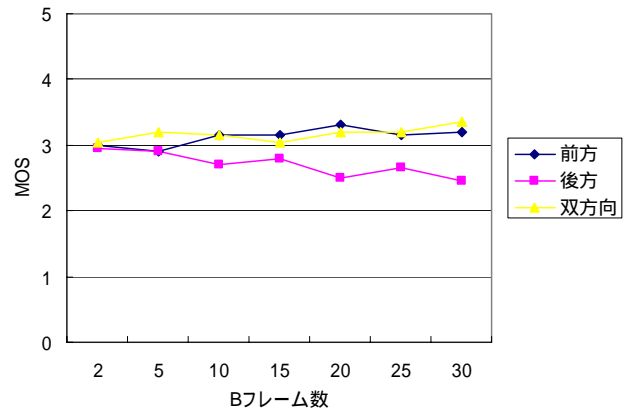


図5 Table tennis エラー率の1%のMOS評価

## 4. むすび

今回はテスト画像を2種類使って評価をしてみた。客観的評価において B フレームの数が増えるほど、SNR は下がることは分かり、後方予測だけ突発的に値が下がる場所があった。エラー画素の伝播数では後方予測が多く、原画像との画素差の絶対値平均値は後方予測が低くなる場合が多かった。また後方予測だけ SNR が下がる場合は、エラー画素の伝播数も多く、原画像との画素差の絶対値平均が高い場合に下がることもわかった。また主観的評価において、B フレーム数が10枚辺りを境に後方予測の評価が下がることが分かった。以上の結果から、主観的評価、客観的評価には、前方予測の場合最初の P フレームにはエラーが混入しておらずその P フレームを参照するのでエラーが伝播しないことが前方予測、後方予測、双方向予測の伝播特性に大きく関わるようである。また今回はエラーコンシールメントの方法が差分値を0とする最も簡単な方法だったので今後別の方法の検討や直接モードも含めた伝播特性が今後の課題といえる。

## 参考文献

- [ 1 ] 宝蔵寺, 木本, 「MPEG-4 動画像符号化における DC 成分によるエラーコンシールメント効果の評価」, 16-2, 映メ年次大会(2003年8月)
- [ 2 ] 宝蔵寺, 木本, 「MPEG-4 INTRA 符号化における DCT スキャン方法による誤り伝播特性」, D-11-54, 信学総大(2004年3月)